



2/23

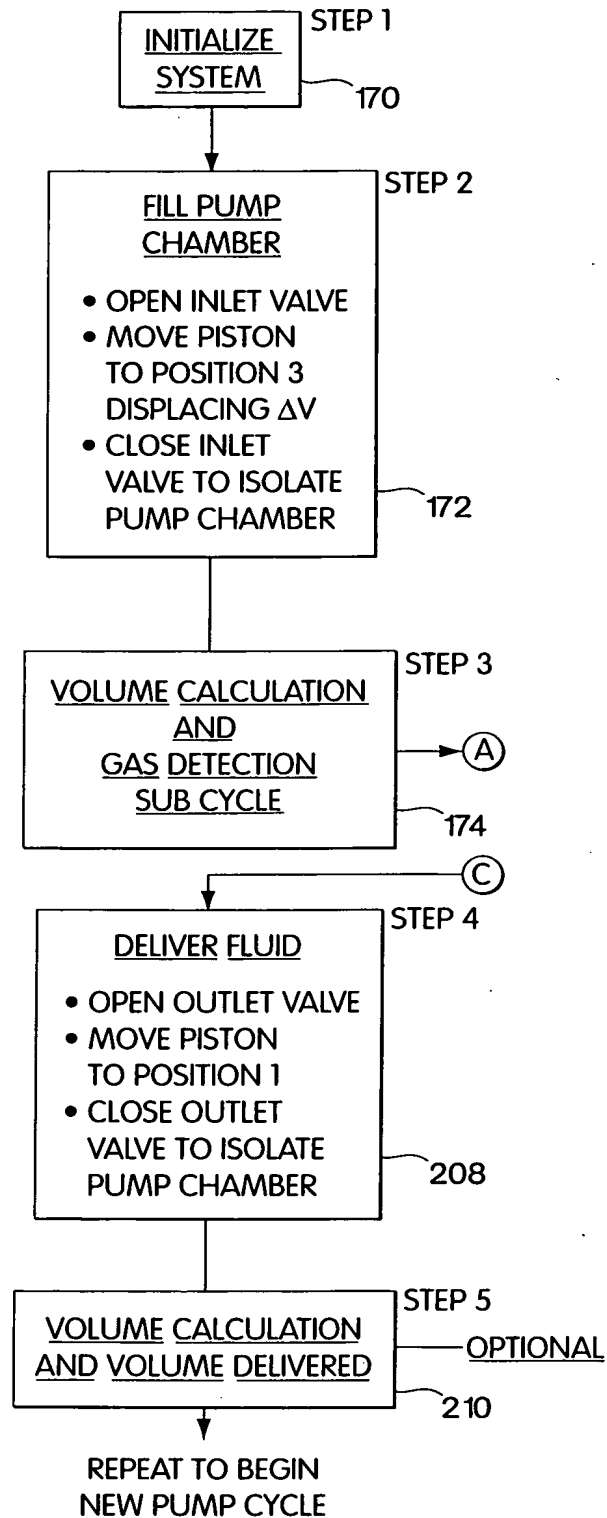


Fig. 3a

3/23

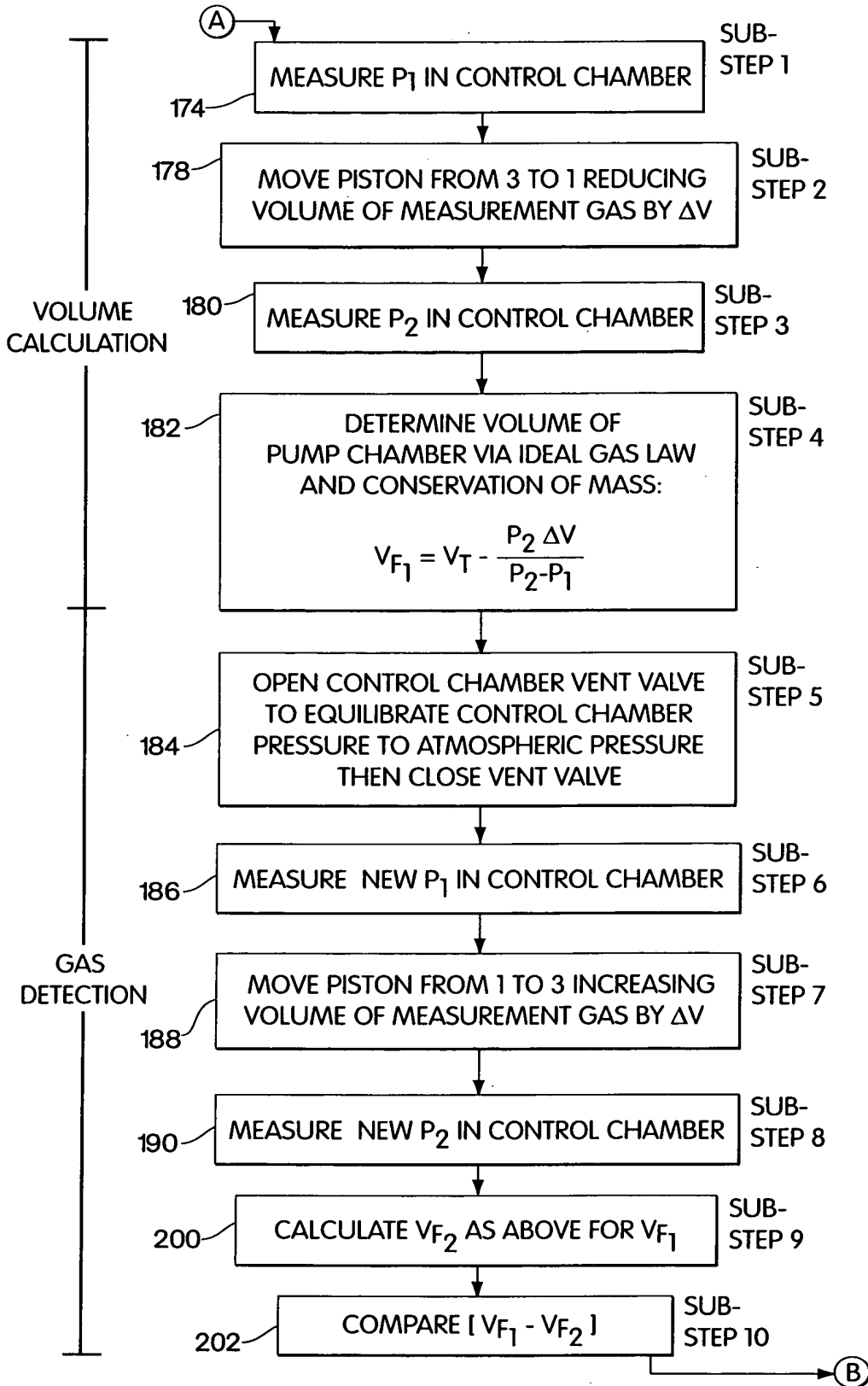


Fig. 3b

4/23

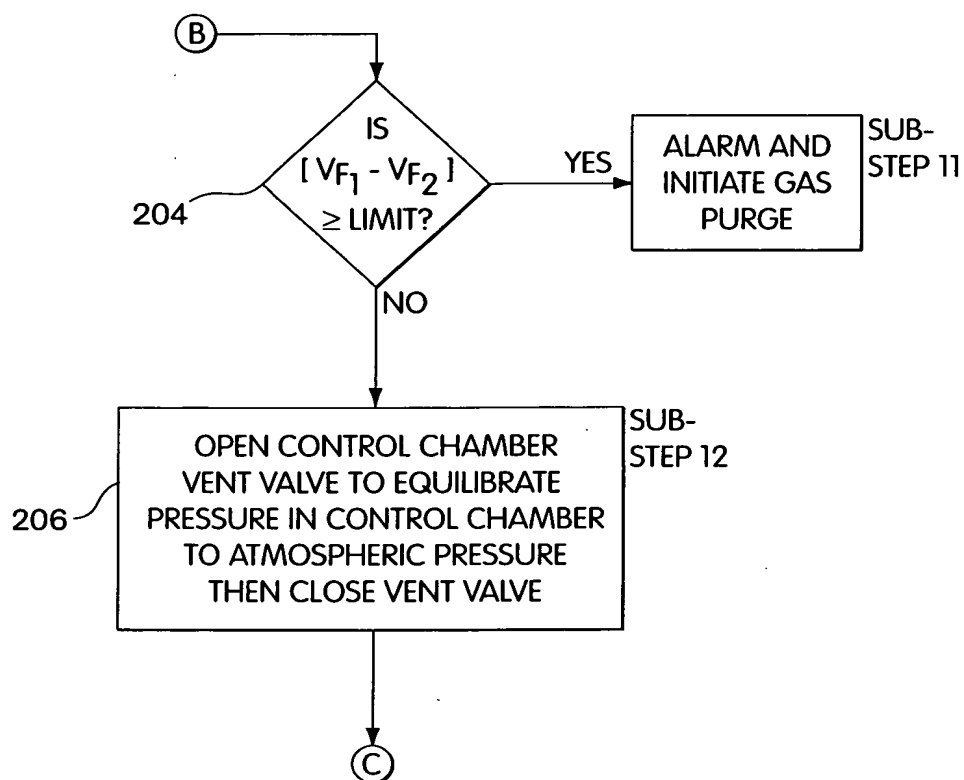


Fig. 3c

5/23

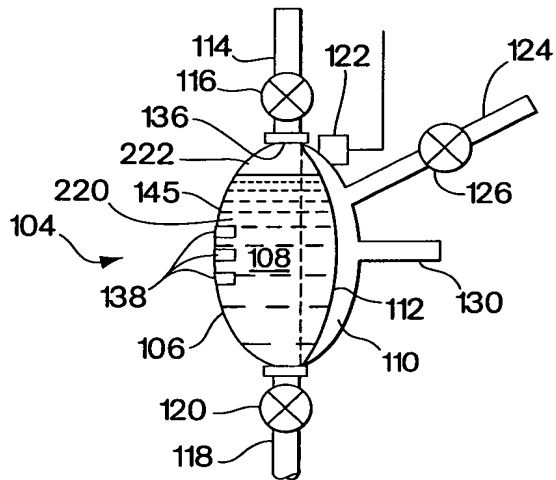


Fig. 4

6/23

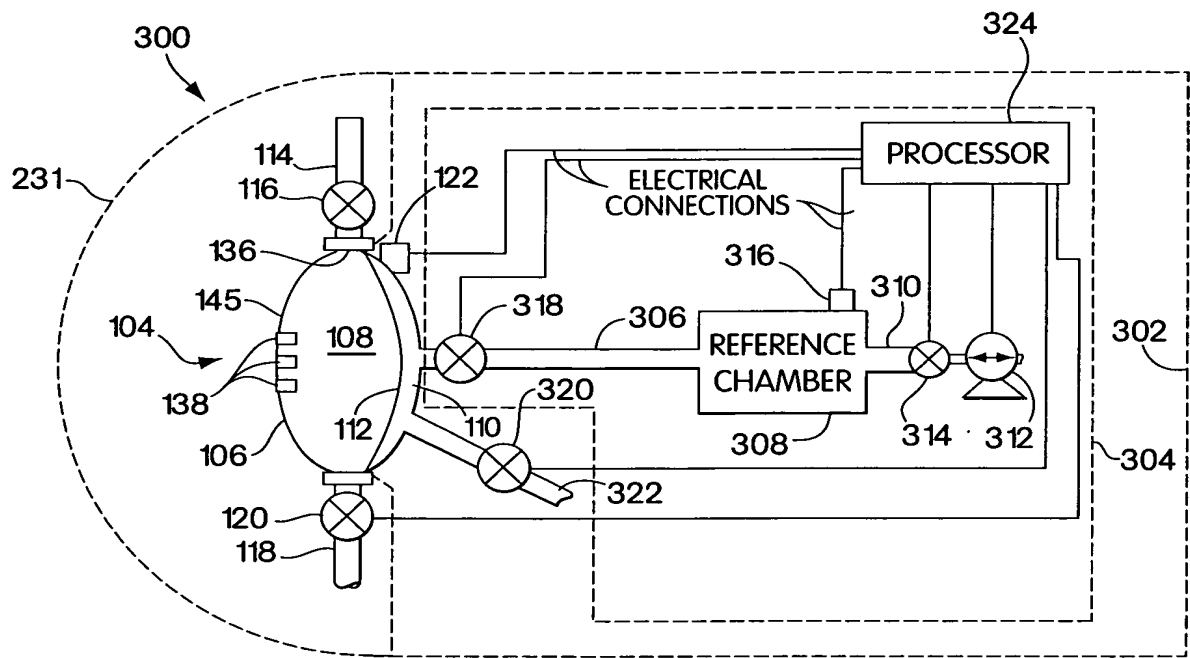


Fig. 5

7/23

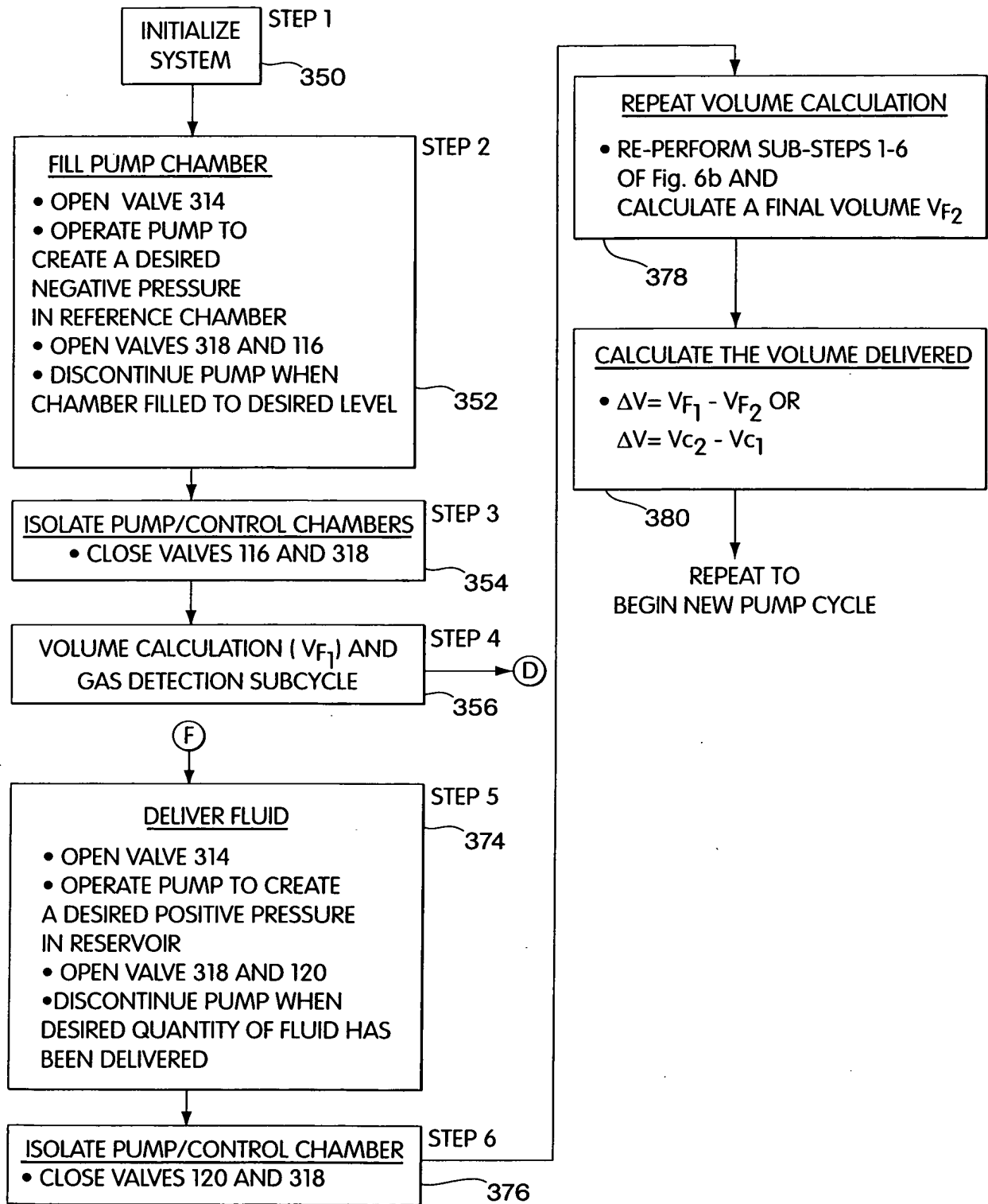
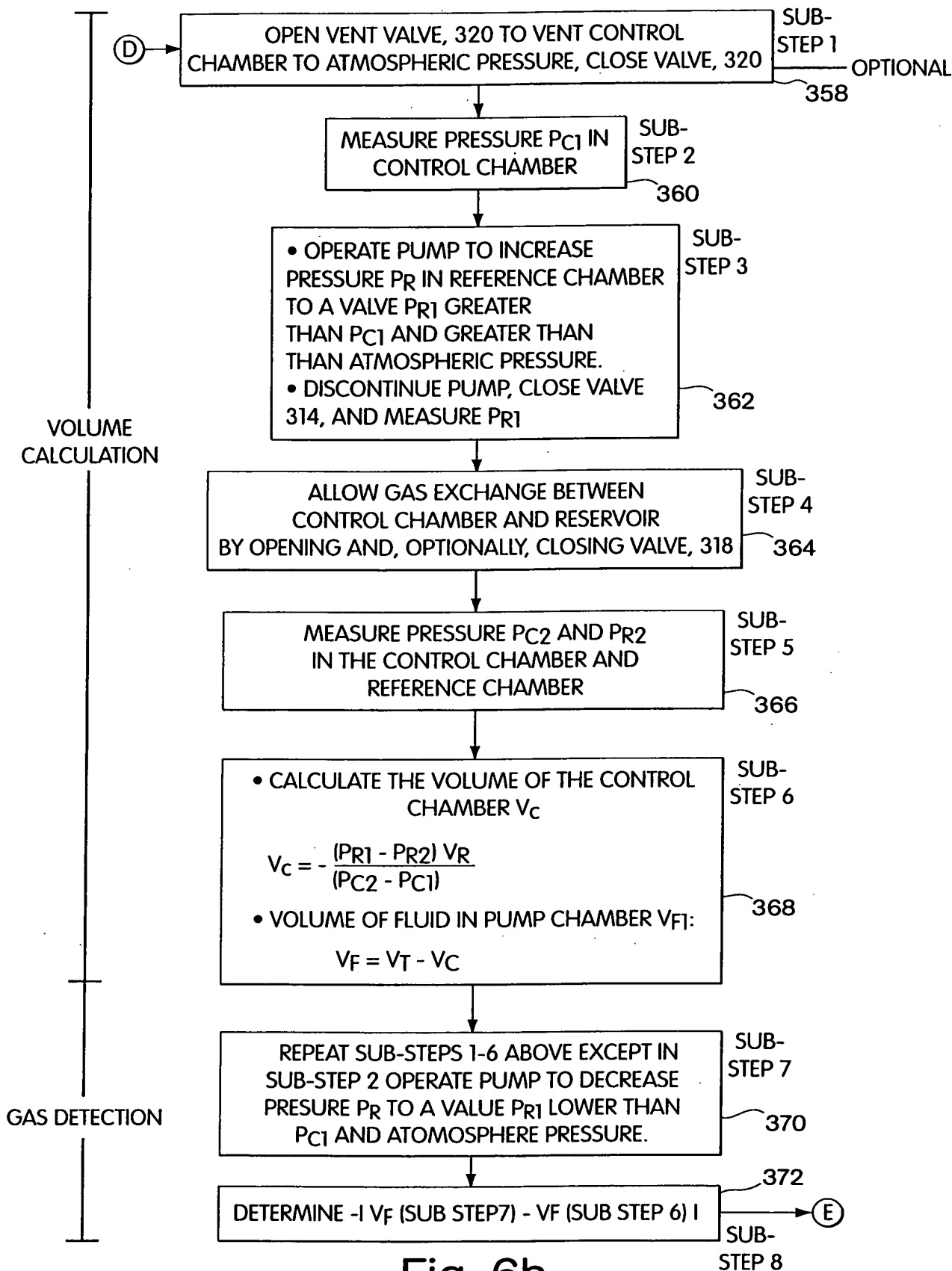


Fig. 6a

8/23



9/23

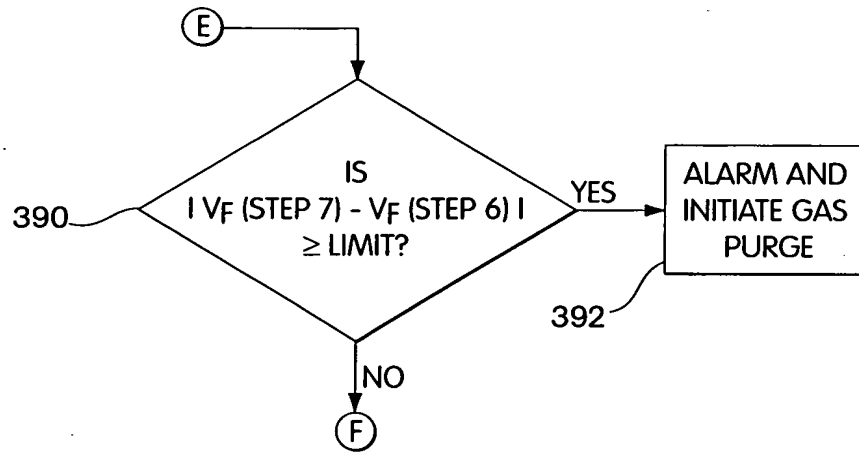


Fig. 6c

10/23

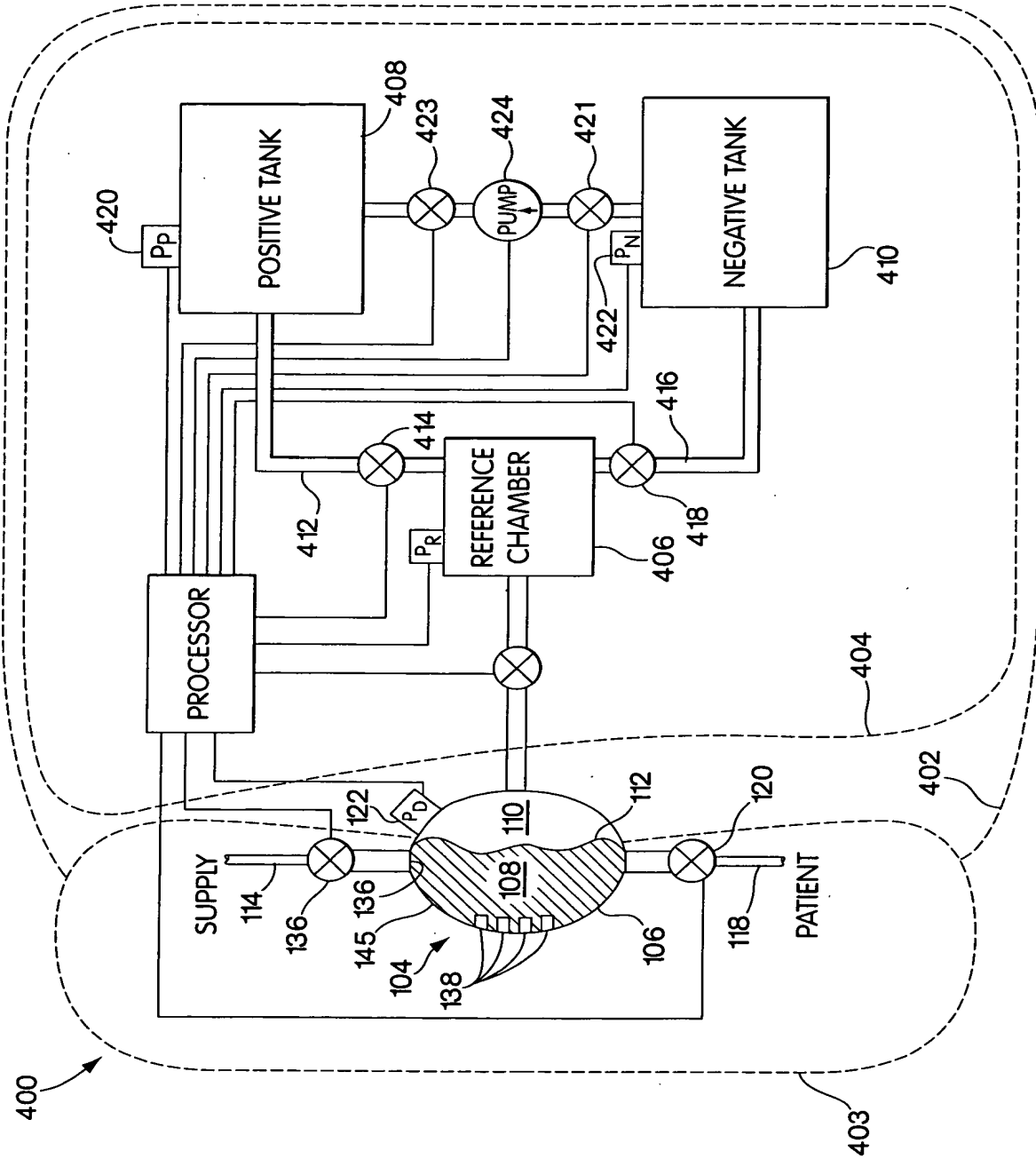


Fig. 7

11/23

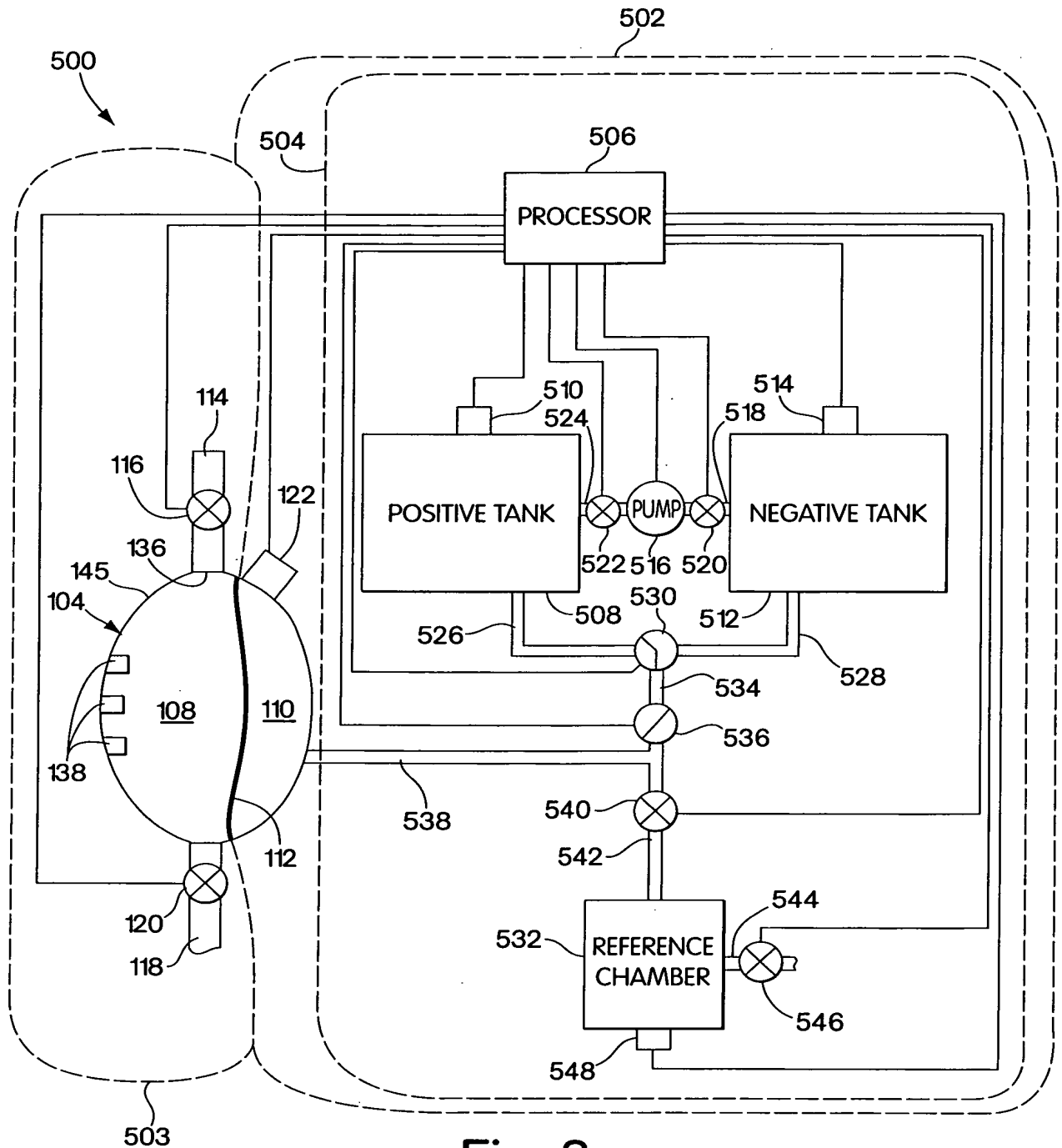


Fig. 8

12/23

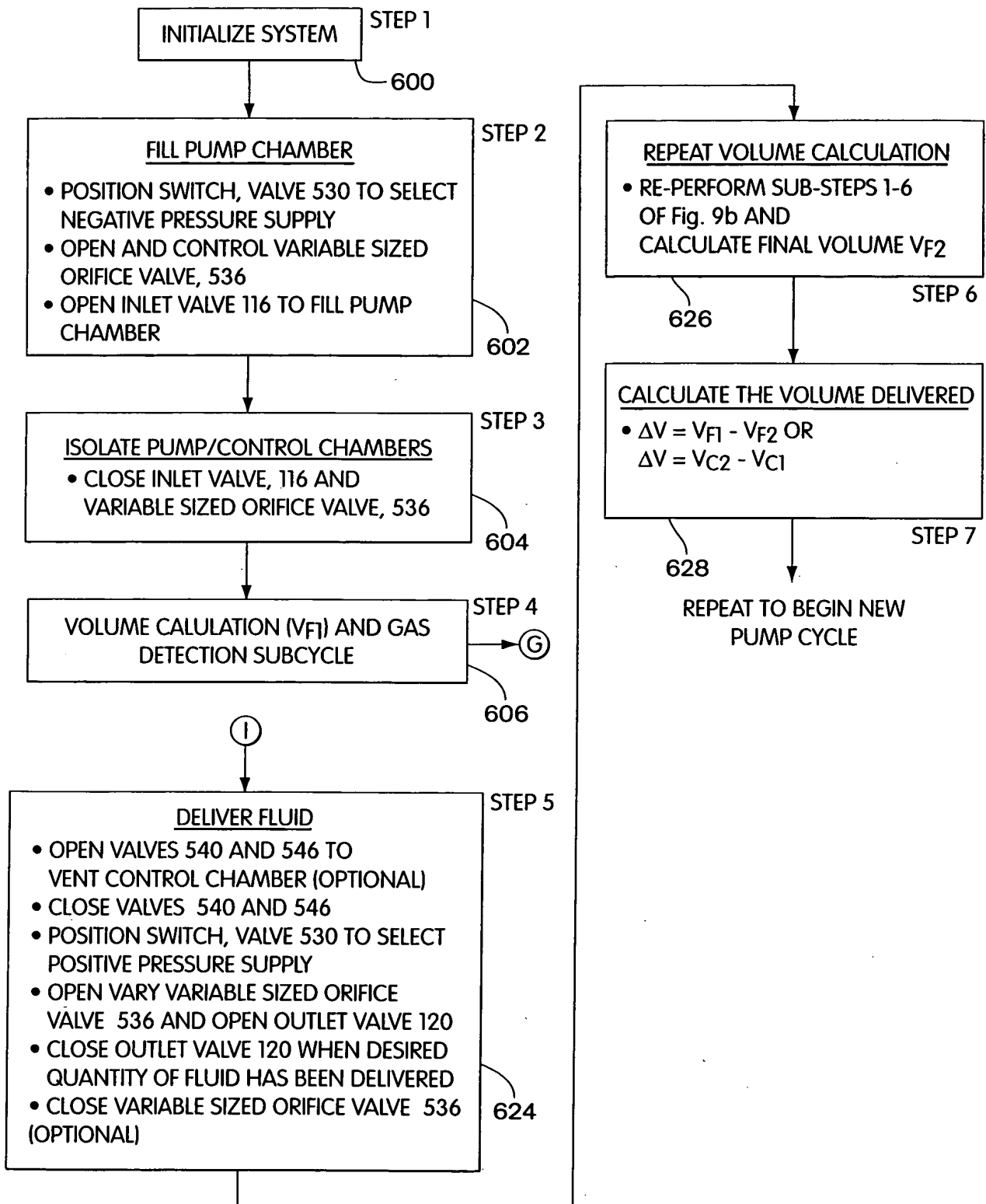


Fig. 9a

13/23

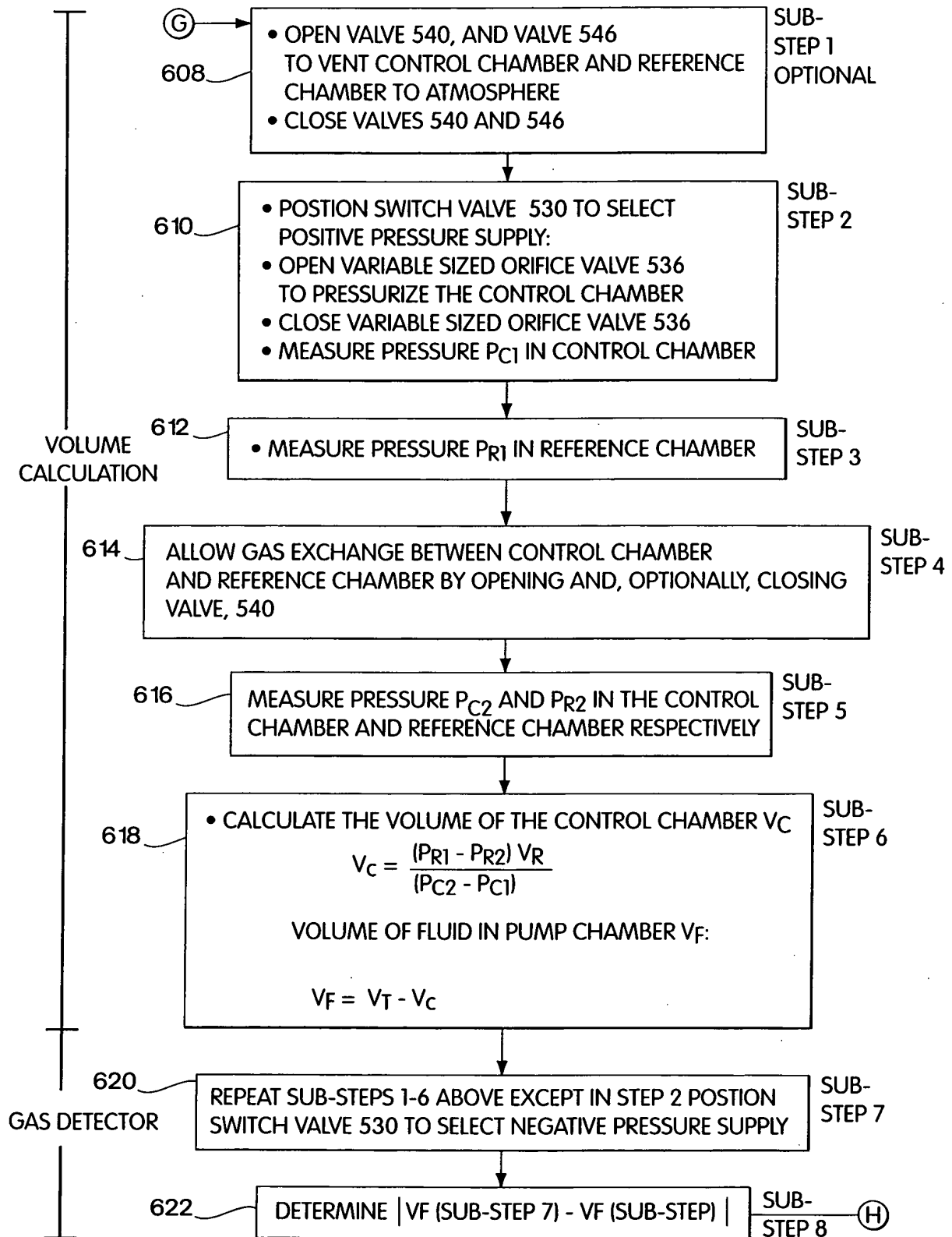


Fig. 9b

14/23

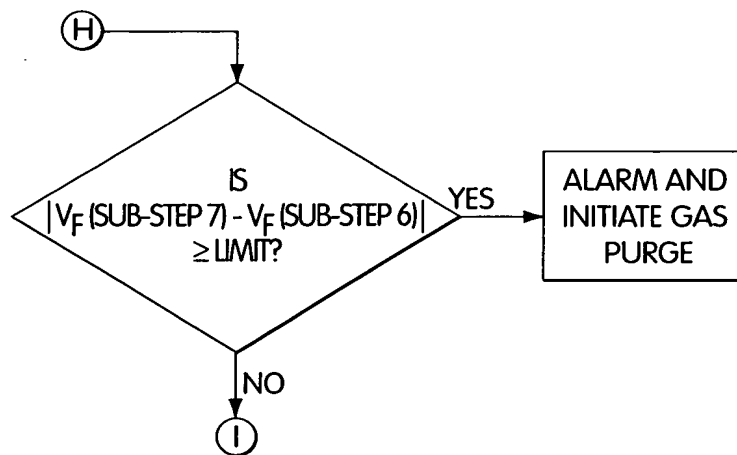


Fig. 9c

15/23

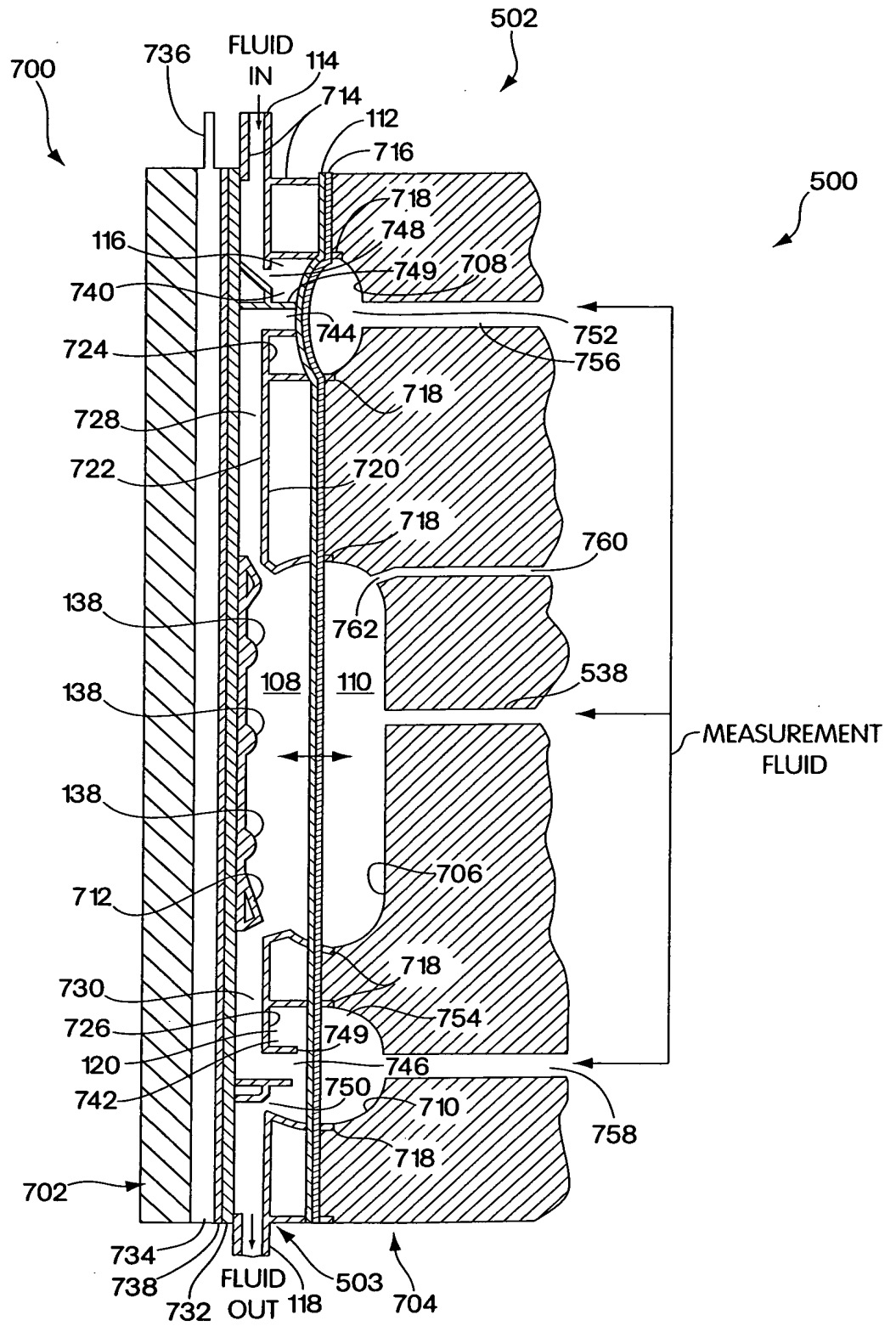
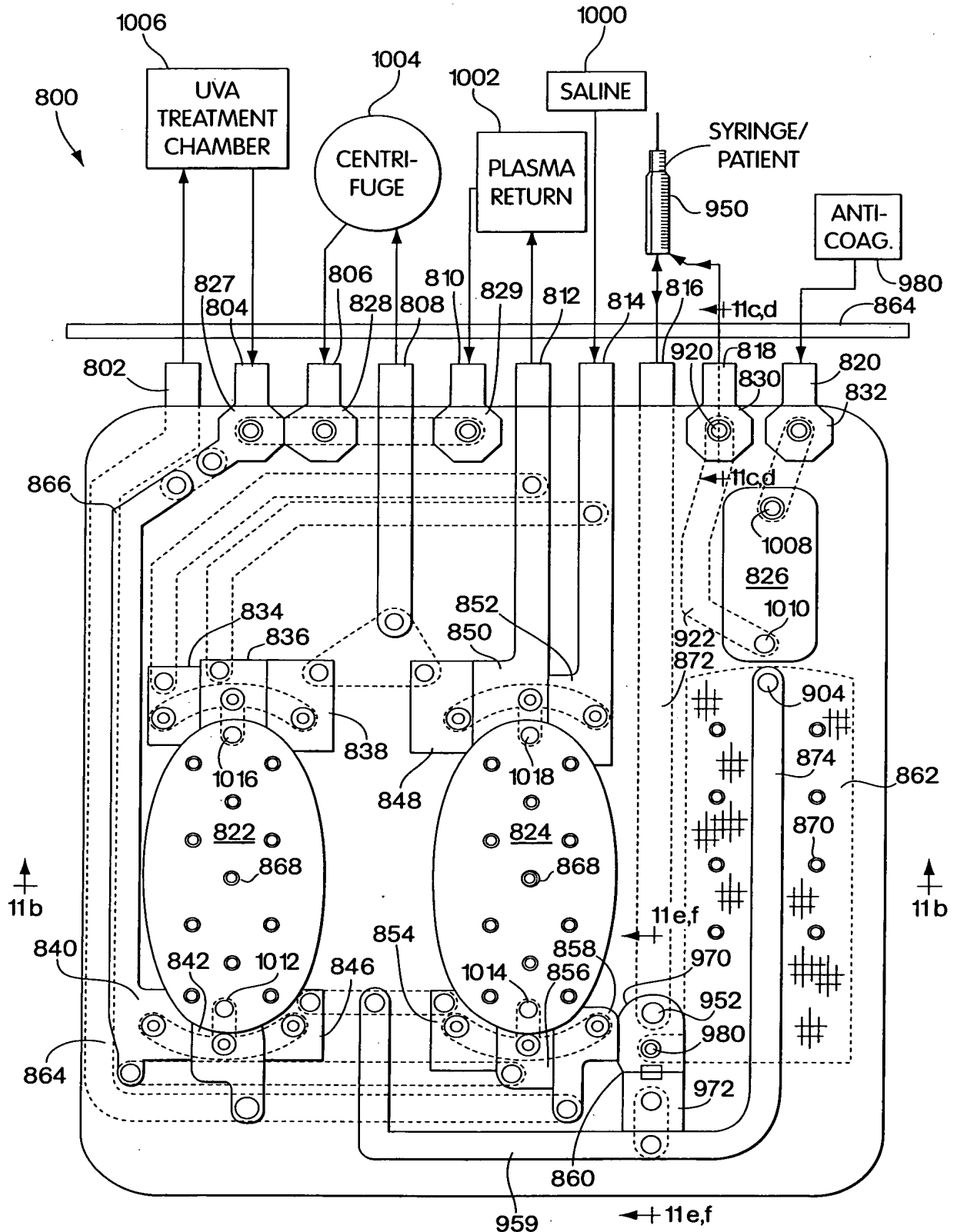


Fig. 10

16/23



17/23

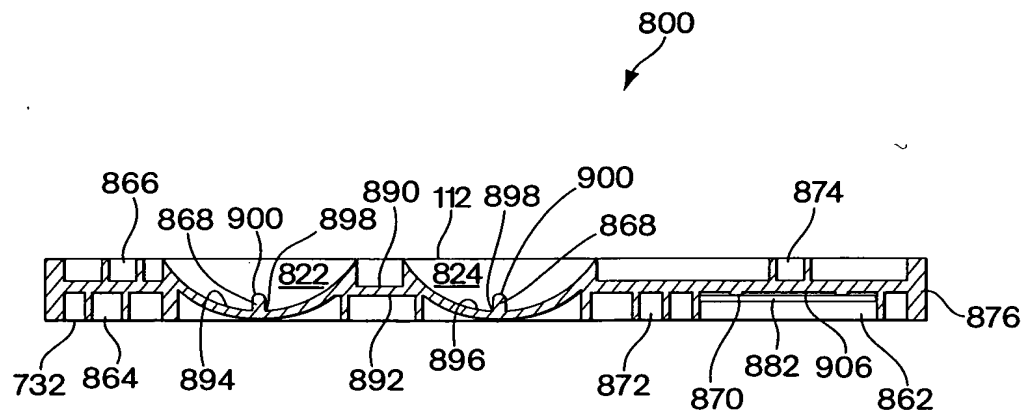


Fig. 11 b

18/23

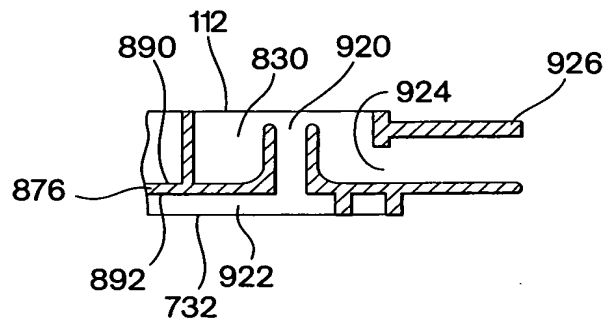


Fig.11c

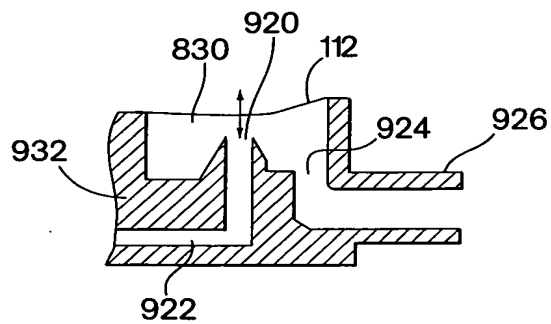


Fig.11d

19/23

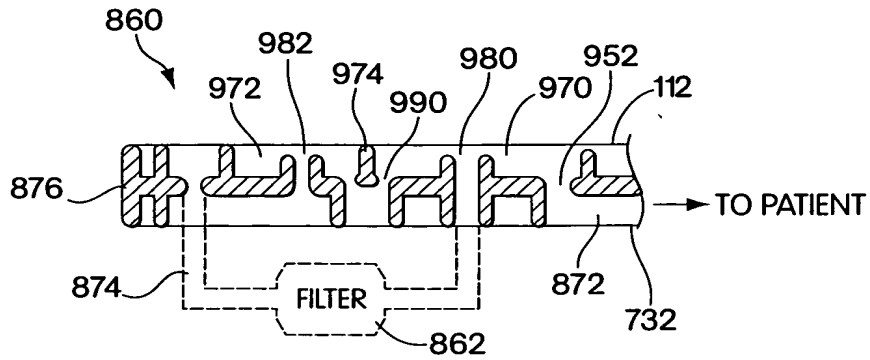


Fig. 11e

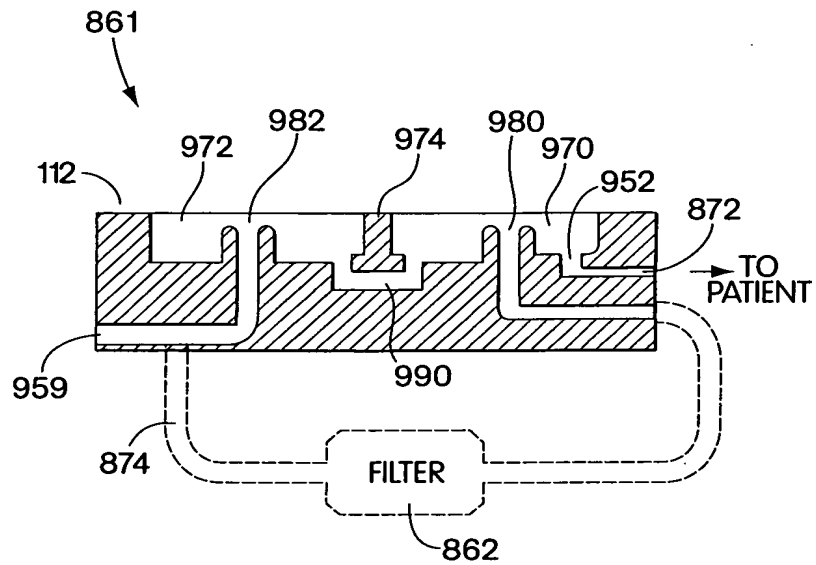


Fig. 11f

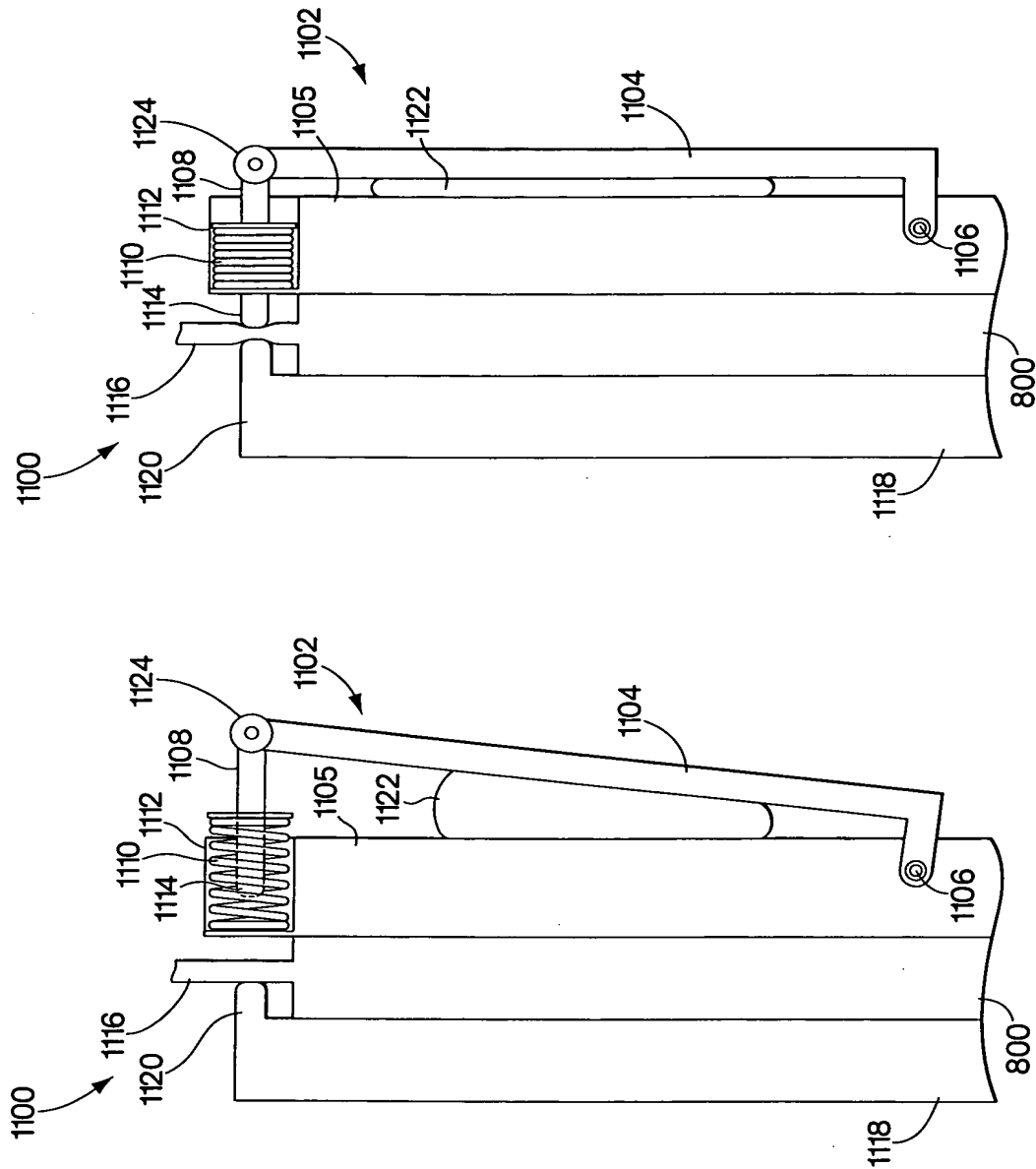


Fig. 12b

Fig. 12a

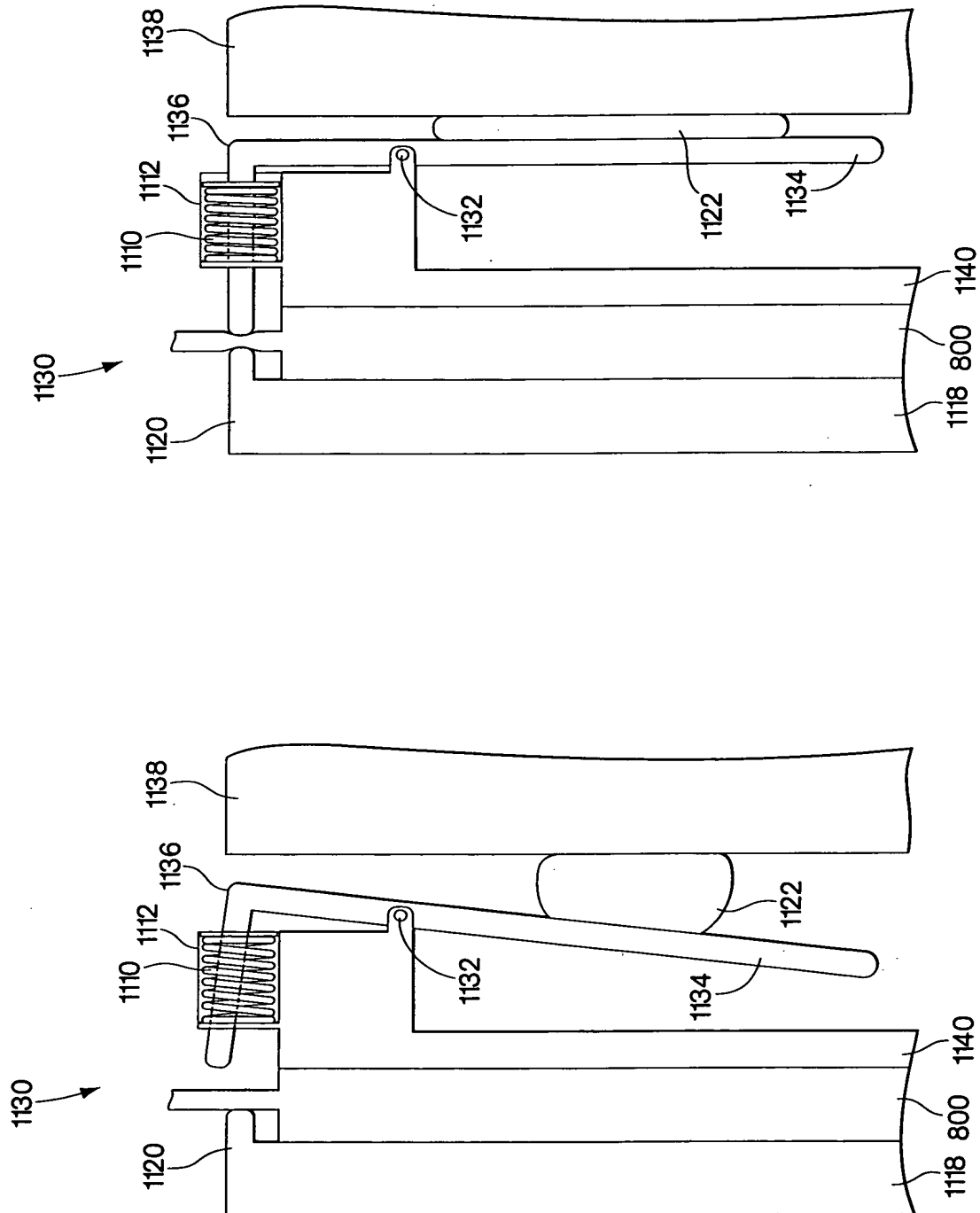


Fig. 12d

22/23

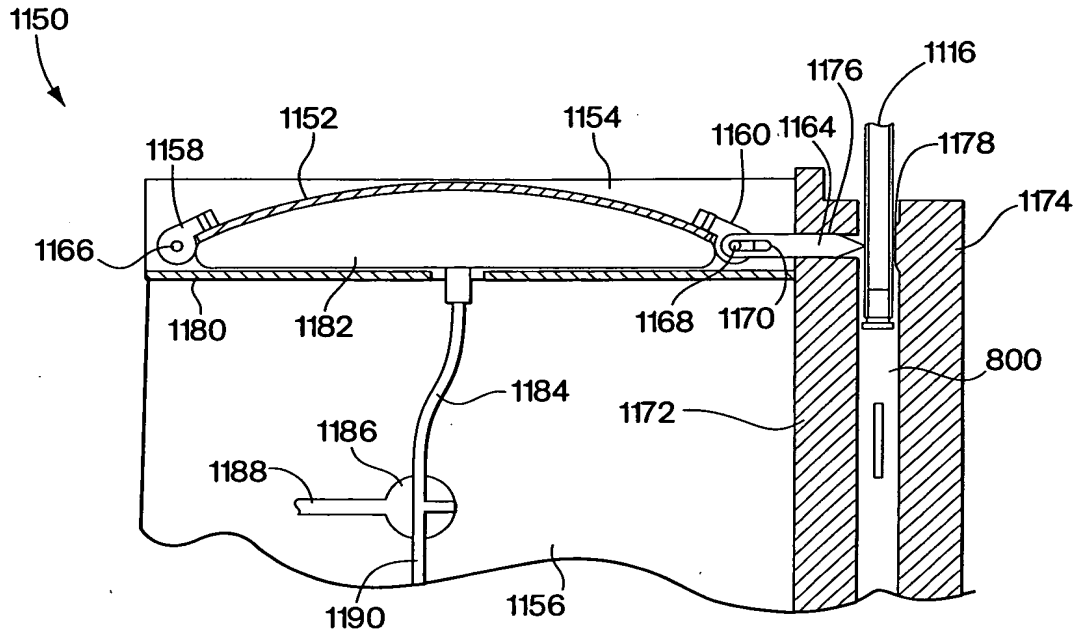


Fig. 12e

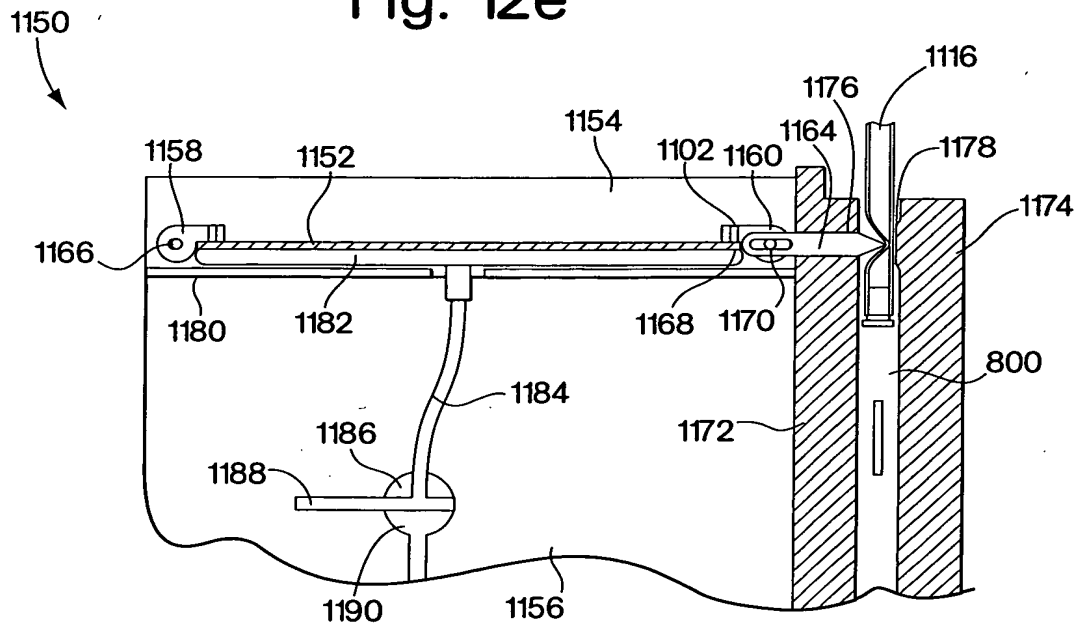


Fig. 12f

23/23

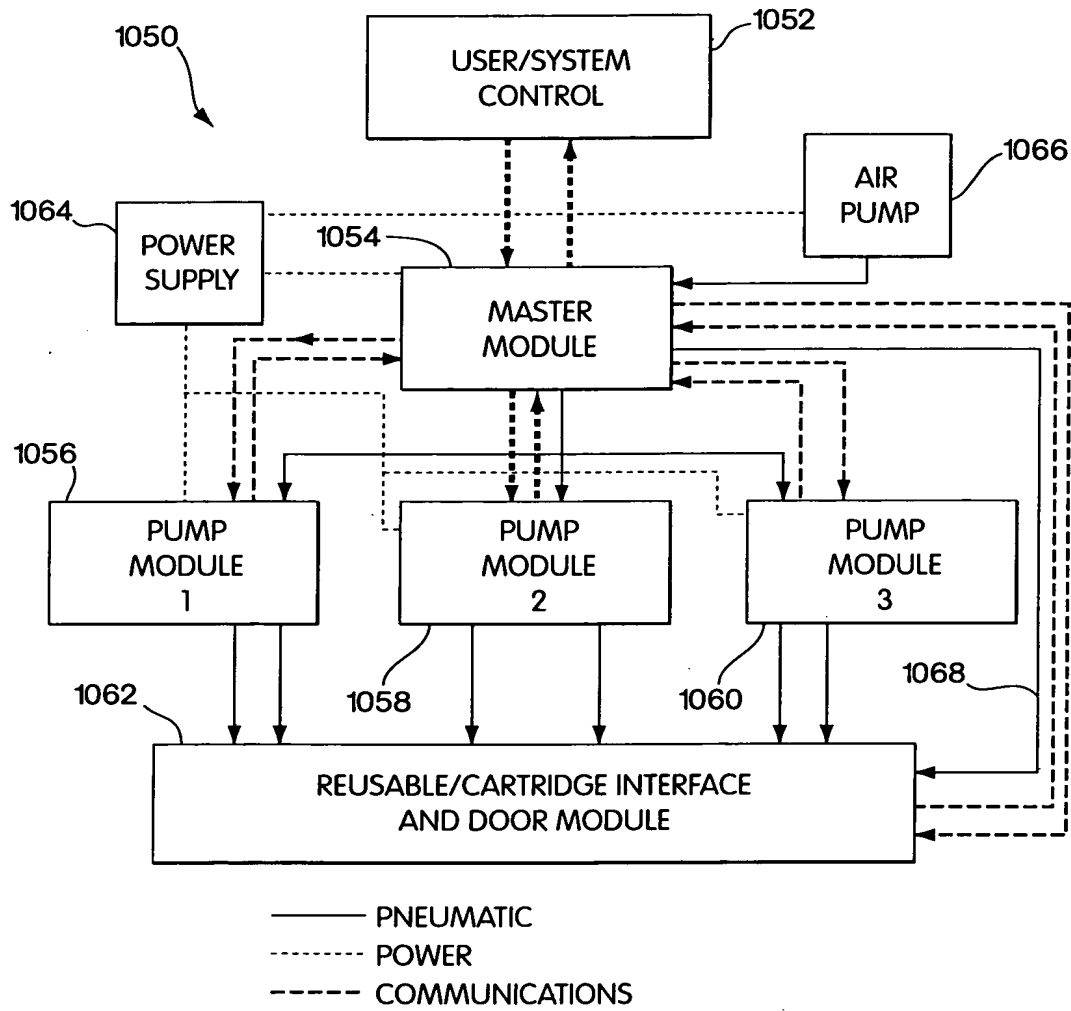


Fig. 13